



Caractérisation de comportement instationnaire d'écoulements par analyse de stabilité

Samir BENEDDINE
DAFE

Directeur de thèse : Denis Sipp (DAFE)



retour sur innovation

Contexte :

- PRF Jets : Compréhension des mécanismes de production de bruit, mise en place de systèmes de contrôle (fin début 2016).
- Thèse de Clément Mettot (fin mi-2013) : Création d'outils d'analyse de stabilité pour le département.

Objectifs scientifiques:

- Développer les méthodes et outils d'analyse de stabilité existants
- Prédire les caractéristiques instationnaires d'écoulements et leur sensibilité, en particulier de jets.

- Développement et améliorations des outils existants au DAFE
 - Transfert au DAAP, collaboration pour stratégie de contrôle d'un jet double flux (réduction du bruit) : extended abstract conférence AIAA aviation 2016 (Fulvio Sartor).

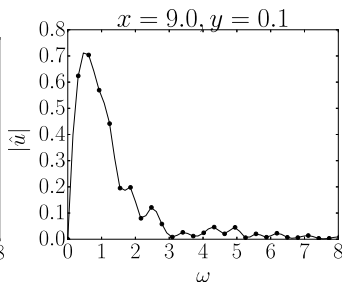
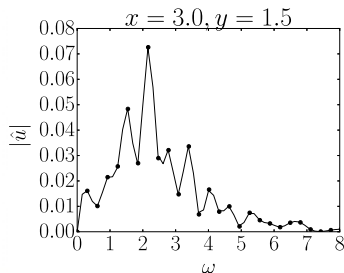
- Développement et améliorations des outils existants au DAFE
 - Transfert au DAAP, collaboration pour stratégie de contrôle d'un jet double flux (réduction du bruit) : extended abstract conférence AIAA aviation 2016 (Fulvio Sartor).
- Utilisation des outils pour l'étude du bruit de Screech
 - Beneddine, S., Mettot, C., Sipp, D "Global stability analysis of underexpanded screeching jets." *European Journal of Mechanics-B/Fluids*, 2015. (publié)

- Développement et améliorations des outils existants au DAFE
 - Transfert au DAAP, collaboration pour stratégie de contrôle d'un jet double flux (réduction du bruit) : extended abstract conférence AIAA aviation 2016 (Fulvio Sartor).
- Utilisation des outils pour l'étude du bruit de Screech
 - Beneddine, S., Mettot, C., Sipp, D "Global stability analysis of underexpanded screeching jets." *European Journal of Mechanics-B/Fluids*, 2015. (publié)
- Étude théorique de l'approche "champ moyen".
 - Beneddine, S., Sipp, D., Arnault, A., Dandois, J., Lesshafft, L. "Conditions for validity of mean flow stability analysis and application to the determination of coherent structures in a turbulent backward facing step flow" *Journal of Fluid Mechanics*, (soumis).
 - "PSE-based predictive model for velocity field reconstruction an application to an experimental round jet", (en préparation).

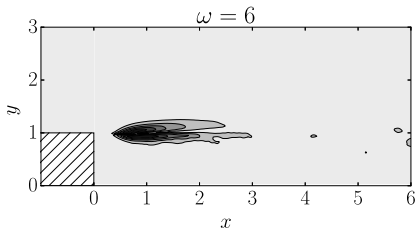
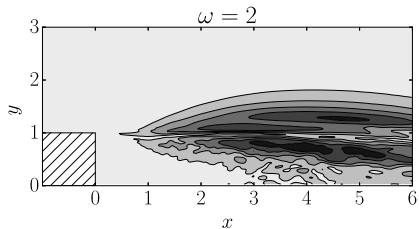
- Développement et améliorations des outils existants au DAFE
 - Transfert au DAAP, collaboration pour stratégie de contrôle d'un jet double flux (réduction du bruit) : extended abstract conférence AIAA aviation 2016 (Fulvio Sartor).
- Utilisation des outils pour l'étude du bruit de Screech
 - Beneddine, S., Mettot, C., Sipp, D "Global stability analysis of underexpanded screeching jets." *European Journal of Mechanics-B/Fluids*, 2015. (publié)
- Étude théorique de l'approche "champ moyen".
 - Beneddine, S., Sipp, D., Arnault, A., Dandois, J., Lesshafft, L. "Conditions for validity of mean flow stability analysis and application to the determination of coherent structures in a turbulent backward facing step flow" *Journal of Fluid Mechanics*, (soumis).
 - "PSE-based predictive model for velocity field reconstruction an application to an experimental round jet", (en préparation).

- Écoulement : système décrit par un ensemble de variables. Cas incompressible: $\mathbf{q} = (u, v, p)$.
- Régit par les équations de Navier Stokes $\mathbf{q}_t = NS(\mathbf{q})$.
- A faible nombre de Reynolds, on peut calculer \mathbf{q}_0 tel que $NS(\mathbf{q}_0) = 0$ (champ de base).
- Etude linéaire de stabilité classique : savoir si ce champ de base est **stable ou instable**.
 - Etude de l'évolution temporelle de petites perturbations autour du champ de base.
 - Linéarisation des équations autour du champ de base.
 - Etude de l'opérateur linéarisé → caractérisation du comportement instationnaire d'un écoulement.

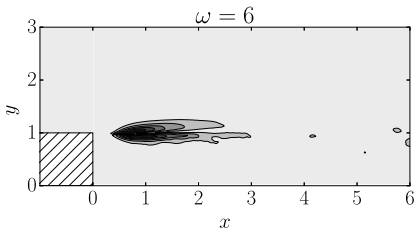
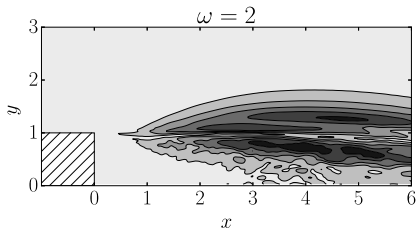
- Simulation ZDES 3D d'une marche descendante turbulente, $Re = 58000$ (A. Arnault).
Comportement instationnaire complexe.



- Simulation ZDES 3D d'une marche descendante turbulente, $Re = 58000$ (A. Arnault). Comportement instationnaire complexe.

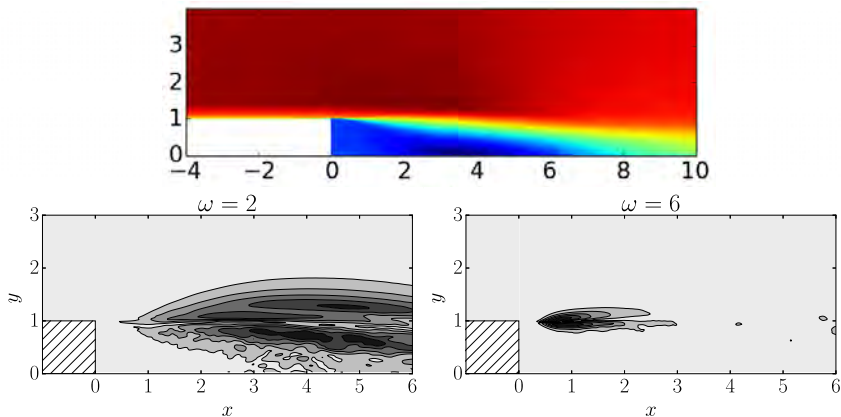


- Simulation ZDES 3D d'une marche descendante turbulente, $Re = 58000$ (A. Arnault). Comportement instationnaire complexe.



Analyse de stabilité : pour $Re \gg 1$, le champ de base n'existe pas

- Simulation ZDES 3D d'une marche descendante turbulente, $Re = 58000$ (A. Arnault). Comportement instationnaire complexe.



Analyse de stabilité : pour $Re \gg 1$, le champ de base n'existe pas \rightarrow **champ moyen** [Pier 2002, Gudmundsson 2011].

Objectifs

- 1 Établir le sens mathématique d'une analyse de stabilité autour du champ moyen.
- 2 Pour une fréquence donnée, reconstruire les modes de Fourier de l'écoulement à partir du champ moyen.
- 3 En connaissant le spectre fréquentiel en un unique point, reconstruire le spectre en tout point à partir du champ moyen.

Plan

- 1 Approche fréquentielle : lien entre analyse de stabilité linéaire autour du champ moyen et dynamique réelle de l'écoulement.
- 2 Modèle prédictif du spectre fréquentiel d'un écoulement.
- 3 Application à un cas expérimental.

Équation gouvernant la fluctuation autour du champ moyen

$$\partial_t u + \nabla \cdot (u \otimes u) = -\frac{1}{\rho} \nabla p + \nabla \cdot (2\nu D)$$

Décomposition de Reynolds: $u = \bar{u} + u' \Rightarrow$

$$\partial_t u' = -\nabla \cdot (\bar{u} \otimes u') - \nabla \cdot (u' \otimes \bar{u}) - \frac{1}{\rho} \nabla p' + \nabla \cdot (2\nu D') + \nabla \cdot (\overline{u' \otimes u'} - u' \otimes u').$$

Équation gouvernant la fluctuation autour du champ moyen

$$\partial_t u + \nabla \cdot (u \otimes u) = -\frac{1}{\rho} \nabla p + \nabla \cdot (2\nu D)$$

Décomposition de Reynolds: $u = \bar{u} + u' \Rightarrow$

$$\partial_t u' = -\nabla \cdot (\bar{u} \otimes u') - \nabla \cdot (u' \otimes \bar{u}) - \frac{1}{\rho} \nabla p' + \nabla \cdot (2\nu D') + \nabla \cdot (\overline{u' \otimes u'} - u' \otimes u').$$

$$\partial_t u' = \mathcal{A}_{\bar{u}} u' + f'$$

Domaine des fréquences: $i\omega \hat{u} = \mathcal{A}_{\bar{u}} \hat{u} + \hat{f}$

On définit $\mathcal{R}(\omega) = (i\omega I - \mathcal{A}_{\bar{u}})^{-1}$ le résolvant global. On obtient :

$$\hat{u} = \mathcal{R} \hat{f}$$

S.v.d. de \mathcal{R}

Singular value decomposition (svd): décomposition (unique) de $\mathcal{R}(\omega)$ sous la forme:

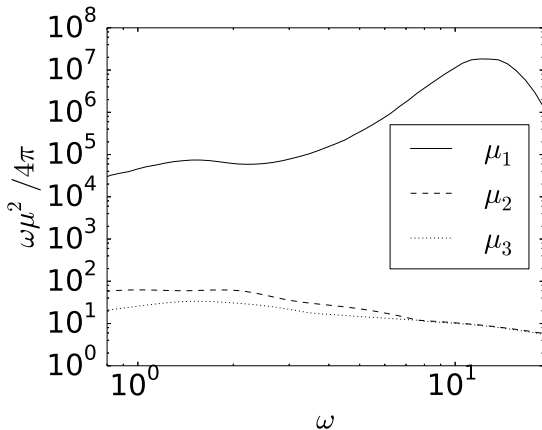
$$\mathcal{R}(\omega) = \tilde{u}_1 \mu_1 \tilde{f}_1^* + \tilde{u}_2 \mu_2 \tilde{f}_2^* + \dots + \tilde{u}_n \mu_n \tilde{f}_n^* ,$$

avec :

- $\mu_1 > \mu_2 > \dots > \mu_n$ les valeurs singulières de $\mathcal{R}(\omega)$.
- $(\tilde{u}_i)_{i=1,n}$ et $(\tilde{f}_i)_{i=1,n}$ deux bases orthonormales ($\tilde{u}_i \tilde{u}_j^* = \tilde{f}_i \tilde{f}_j^* = \delta_{ij}$).

Valeur singulière dominante

Dans le cas de la marche: $\mu_1 \gg \mu_i$



Valeur singulière dominante

Dans le cas de la marche: $\mu_1 \gg \mu_i$

$$\mathcal{R}(\omega) = \tilde{u}_1 \mu_1 \tilde{f}_1^* + \tilde{u}_2 \mu_2 \tilde{f}_2^* + \dots + \tilde{u}_n \mu_n \tilde{f}_n^*$$

Valeur singulière dominante

Dans le cas de la marche: $\mu_1 \gg \mu_i$

$$\mathcal{R}(\omega) \approx \tilde{u}_1 \mu_1 \tilde{f}_1^*$$

Valeur singulière dominante

Dans le cas de la marche: $\mu_1 \gg \mu_i$

$$\mathcal{R}(\omega) \approx \tilde{u}_1 \mu_1 \tilde{f}_1^*$$

$$\hat{u} = \mathcal{R}\hat{f} \Rightarrow \hat{u} \approx \tilde{u}_1 \mu_1 \tilde{f}_1^* \hat{f}$$

Valeur singulière dominante

Dans le cas de la marche: $\mu_1 \gg \mu_i$

$$\mathcal{R}(\omega) \approx \tilde{u}_1 \mu_1 \tilde{f}_1^*$$

$$\hat{u} = \mathcal{R}\hat{f} \Rightarrow \hat{u} \approx \tilde{u}_1 \mu_1 \tilde{f}_1^* \hat{f}$$

Point de vue physique:

- $\hat{u} = \mathcal{R}\hat{f} \rightarrow \hat{f} = \text{input (forçage)}, \hat{u} = \text{output (réponse)}$.
- Gain: $\|\hat{u}\|^2 / \|\hat{f}\|^2$.
- \tilde{f}_1, \tilde{u}_1 et μ_1 : premier forçage optimal, première réponse optimale et gain associé.

$$\mu_1^2 = \frac{\|\tilde{u}_1\|^2}{\|\tilde{f}_1\|^2} = \sup_{\hat{f}} \frac{\|\hat{u}\|^2}{\|\hat{f}\|^2}$$

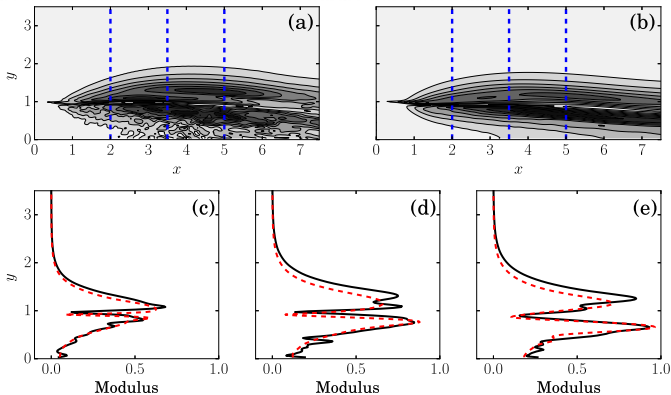
Réponse optimale

$\hat{u}(\omega, \mathbf{x}, \mathbf{y}) \approx \tilde{u}_1(\omega, \mathbf{x}, \mathbf{y}) \mu_1(\omega) (\tilde{f}_1^* \hat{f})(\omega) \Rightarrow$ A fréquence fixée, \hat{u}
et \tilde{u}_1 sont proportionnels.

Réponse optimale

$\hat{u}(\omega, \mathbf{x}, \mathbf{y}) \approx \tilde{u}_1(\omega, \mathbf{x}, \mathbf{y}) \mu_1(\omega) (\tilde{f}_1^* \hat{f})(\omega) \Rightarrow$ A fréquence fixée, \hat{u} et \tilde{u}_1 sont proportionnels.

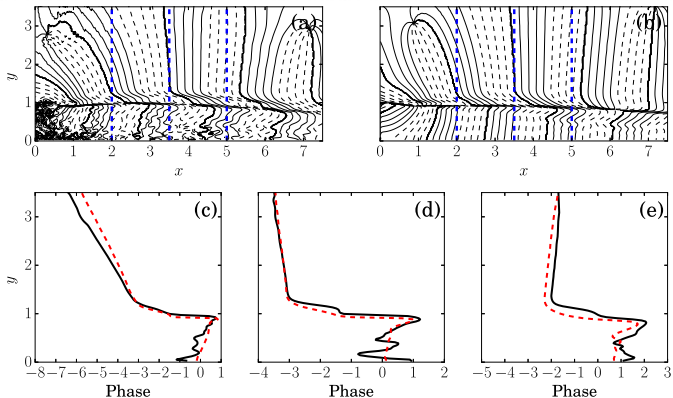
$\omega = 2.1$, comparaison entre \hat{u} (a) et \tilde{u}_1 (b):



Réponse optimale

$\hat{u}(\omega, \mathbf{x}, \mathbf{y}) \approx \tilde{u}_1(\omega, \mathbf{x}, \mathbf{y}) \mu_1(\omega) (\tilde{f}_1^* \hat{f})(\omega) \Rightarrow$ A fréquence fixée, \hat{u} et \tilde{u}_1 sont proportionnels.

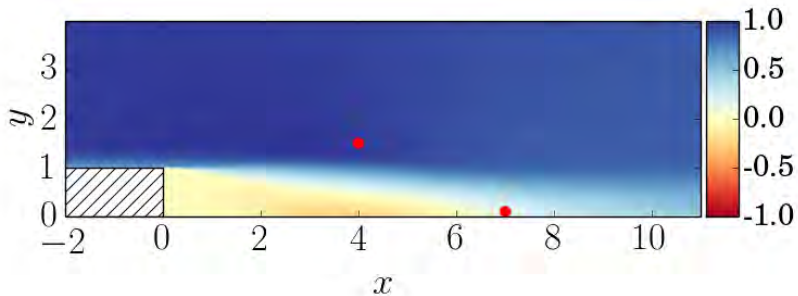
$\omega = 2.1$, comparaison entre \hat{u} (a) et \tilde{u}_1 (b):

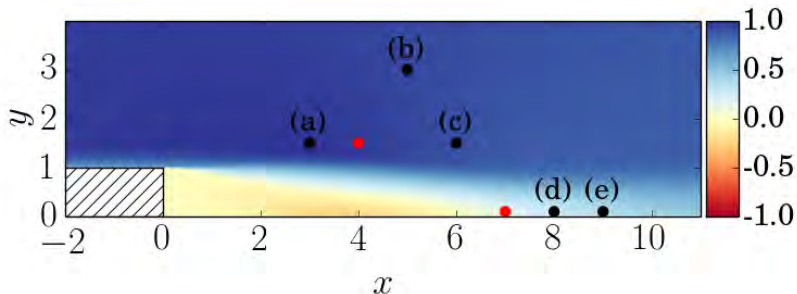


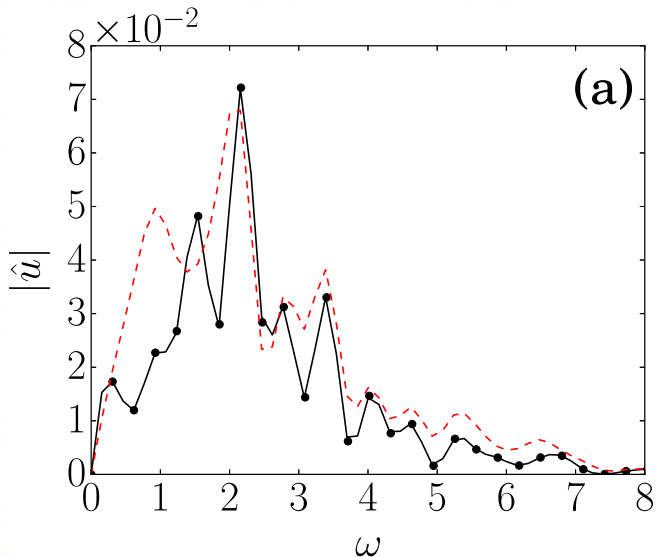
$$\hat{u}(\omega, x, y) \approx \tilde{u}_1(\omega, x, y) \mu_1(\omega) (\tilde{f}_1^* \hat{f})(\omega)$$

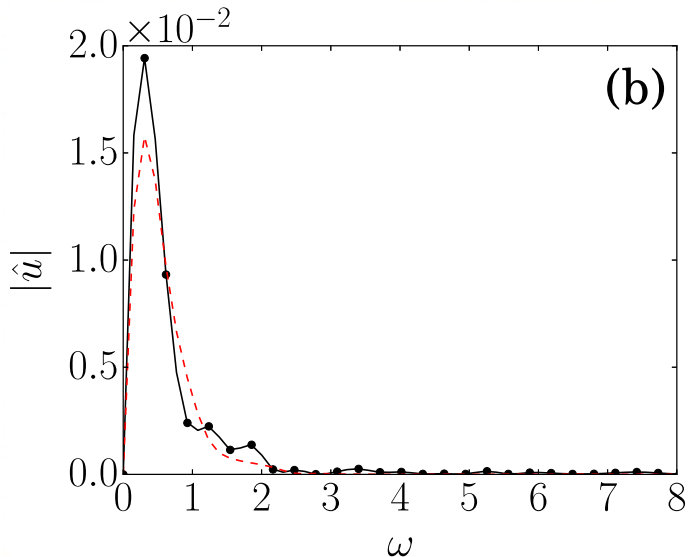
- Tous les termes dépendent de ω .
- Cas général : $\hat{f}(\omega, x, y)$ inconnu.
- $\Lambda(\omega) = \mu_1 \tilde{f}_1^* \hat{f} \Rightarrow \boxed{\hat{u} = \Lambda(\omega) \tilde{u}_1}$.
- En un point (x_0, y_0) quelconque : $\Lambda(\omega) = \hat{u}(\omega, x_0, y_0) / \tilde{u}_1(\omega, x_0, y_0)$.

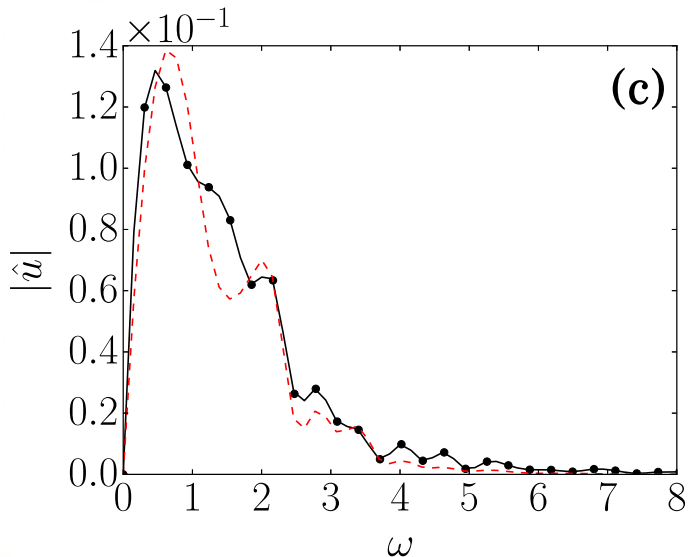
→ **A partir de $\hat{u}(\omega, x_0, y_0)$, on peut calculer Λ , et donc \hat{u} en tout points.**

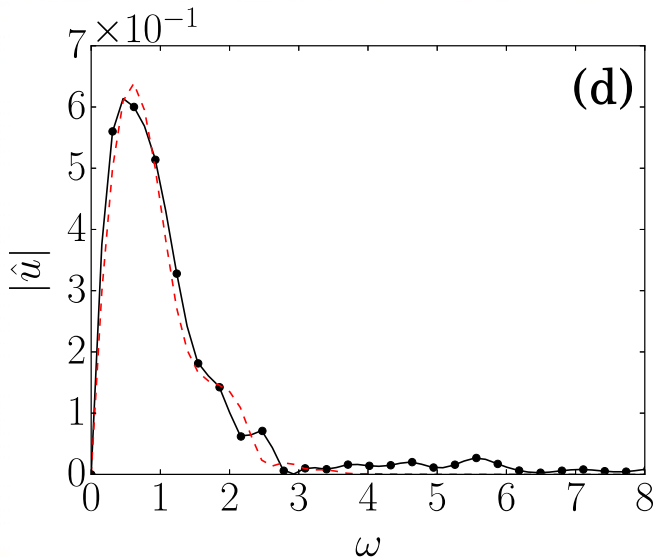
Calcul de Λ avec 2 points

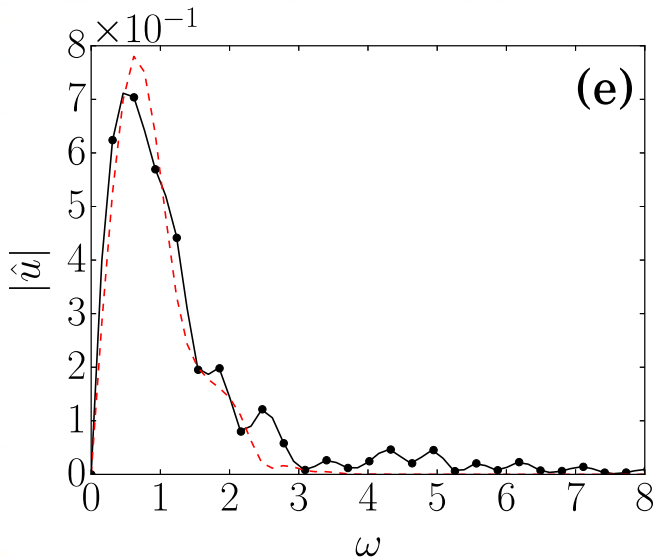
Prédiction de \hat{u} en 5 points



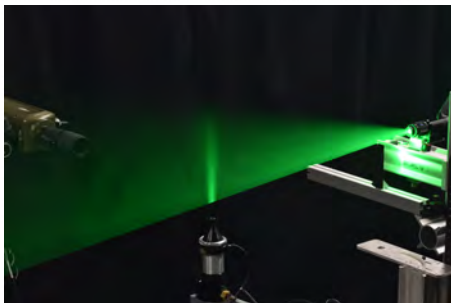








Expérience DAFE-MTRO (R. Yegavian) :

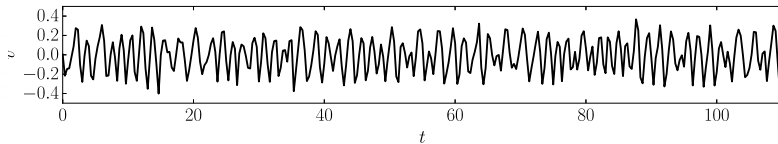
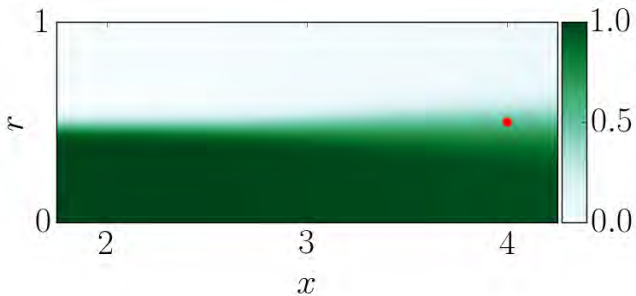


Expériences :

- Facile d'avoir le champ moyen et le spectre en quelques points
- Spectre en tout point \Rightarrow PIV résolue en temps (coûteux)

Objectif : A partir d'une mesure ponctuelle et du champ moyen, reconstruire le champs PIV

Application à un cas expérimental



Perspectives:

- Écriture d'un article en cours sur le cas expérimental.
- Développement des outils de stabilité globale : 3D (collaboration DTIM, F.X. Roux).
- Comparaison des méthodes d'analyse de stabilité globale actuelles avec des méthodes alternatives (collaboration Universidad Politécnica de Madrid).

Communications orales:

- Journée de Dynamique des Fluides du Plateau 2014 (Saclay)
- IUTAM Laminar Turbulent Transition 2014 (Rio de Janeiro)
- EuroMech European Turbulence Conference 2015 (Delft)
- Prévu : EuroMech European Fluid Mechanics Conference 2016 (Séville)
- Prévu : EuroMech/IUTAM Jet Noise Modelling and Control Symposium 2016 (Palaiseau)